

Starkniederschlagshöhen und -spenden gemäß KOSTRA-DWD-2020

Rasterfeld 179164

(Zeile 179, Spalte 164)

Regenspende und Bemessungsniederschlagswerte in Abhängigkeit von Wiederkehrzeit T und Dauerstufe D

| Dauerstufe D | | Wiederkehrzeit T | | | | | | | | | | | | | | | | | |
|--------------|-----|------------------|------------|------|------------|------|------------|------|------------|-------|------------|-------|------------|-------|------------|-------|------------|-------|------------|
| | | 1 a | | 2 a | | 3 a | | 5 a | | 10 a | | 20 a | | 30 a | | 50 a | | 100 a | |
| min | Std | mm | l / (s ha) | mm | l / (s ha) | mm | l / (s ha) | mm | l / (s ha) | mm | l / (s ha) | mm | l / (s ha) | mm | l / (s ha) | mm | l / (s ha) | mm | l / (s ha) |
| 5 | | 6,9 | 230,0 | 8,4 | 280,0 | 9,3 | 310,0 | 10,6 | 353,3 | 12,3 | 410,0 | 14,2 | 473,3 | 15,3 | 510,0 | 16,9 | 563,3 | 19,2 | 640,0 |
| 10 | | 9,3 | 155,0 | 11,3 | 188,3 | 12,6 | 210,0 | 14,2 | 236,7 | 16,6 | 276,7 | 19,1 | 318,3 | 20,7 | 345,0 | 22,8 | 380,0 | 25,8 | 430,0 |
| 15 | | 10,8 | 120,0 | 13,1 | 145,6 | 14,6 | 162,2 | 16,5 | 183,3 | 19,2 | 213,3 | 22,1 | 245,6 | 24,0 | 266,7 | 26,4 | 293,3 | 29,9 | 332,2 |
| 20 | | 11,8 | 98,3 | 14,4 | 120,0 | 16,0 | 133,3 | 18,1 | 150,8 | 21,2 | 176,7 | 24,3 | 202,5 | 26,3 | 219,2 | 29,0 | 241,7 | 32,9 | 274,2 |
| 30 | | 13,4 | 74,4 | 16,3 | 90,6 | 18,1 | 100,6 | 20,5 | 113,9 | 23,9 | 132,8 | 27,5 | 152,8 | 29,8 | 165,6 | 32,8 | 182,2 | 37,2 | 206,7 |
| 45 | | 15,0 | 55,6 | 18,3 | 67,8 | 20,3 | 75,2 | 23,0 | 85,2 | 26,9 | 99,6 | 30,8 | 114,1 | 33,4 | 123,7 | 36,9 | 136,7 | 41,7 | 154,4 |
| 60 | 1 | 16,2 | 45,0 | 19,8 | 55,0 | 22,0 | 61,1 | 24,9 | 69,2 | 29,0 | 80,6 | 33,3 | 92,5 | 36,1 | 100,3 | 39,8 | 110,6 | 45,1 | 125,3 |
| 90 | 1,5 | 18,0 | 33,3 | 22,0 | 40,7 | 24,4 | 45,2 | 27,7 | 51,3 | 32,3 | 59,8 | 37,1 | 68,7 | 40,2 | 74,4 | 44,3 | 82,0 | 50,2 | 93,0 |
| 120 | 2 | 19,4 | 26,9 | 23,7 | 32,9 | 26,3 | 36,5 | 29,7 | 41,3 | 34,7 | 48,2 | 39,9 | 55,4 | 43,2 | 60,0 | 47,6 | 66,1 | 54,0 | 75,0 |
| 180 | 3 | 21,5 | 19,9 | 26,2 | 24,3 | 29,1 | 26,9 | 32,9 | 30,5 | 38,4 | 35,6 | 44,1 | 40,8 | 47,8 | 44,3 | 52,7 | 48,8 | 59,7 | 55,3 |
| 240 | 4 | 23,0 | 16,0 | 28,1 | 19,5 | 31,2 | 21,7 | 35,3 | 24,5 | 41,2 | 28,6 | 47,3 | 32,8 | 51,3 | 35,6 | 56,6 | 39,3 | 64,1 | 44,5 |
| 360 | 6 | 25,4 | 11,8 | 31,0 | 14,4 | 34,5 | 16,0 | 39,0 | 18,1 | 45,5 | 21,1 | 52,3 | 24,2 | 56,7 | 26,3 | 62,4 | 28,9 | 70,7 | 32,7 |
| 540 | 9 | 28,0 | 8,6 | 34,2 | 10,6 | 38,0 | 11,7 | 43,0 | 13,3 | 50,2 | 15,5 | 57,6 | 17,8 | 62,5 | 19,3 | 68,9 | 21,3 | 78,0 | 24,1 |
| 720 | 12 | 30,0 | 6,9 | 36,6 | 8,5 | 40,7 | 9,4 | 46,1 | 10,7 | 53,8 | 12,5 | 61,7 | 14,3 | 67,0 | 15,5 | 73,8 | 17,1 | 83,6 | 19,4 |
| 1080 | 18 | 33,1 | 5,1 | 40,4 | 6,2 | 44,9 | 6,9 | 50,8 | 7,8 | 59,3 | 9,2 | 68,0 | 10,5 | 73,8 | 11,4 | 81,3 | 12,5 | 92,1 | 14,2 |
| 1440 | 24 | 35,5 | 4,1 | 43,2 | 5,0 | 48,0 | 5,6 | 54,4 | 6,3 | 63,5 | 7,3 | 72,9 | 8,4 | 79,0 | 9,1 | 87,1 | 10,1 | 98,6 | 11,4 |
| 2880 | 48 | 41,8 | 2,4 | 51,0 | 3,0 | 56,7 | 3,3 | 64,1 | 3,7 | 74,9 | 4,3 | 85,9 | 5,0 | 93,2 | 5,4 | 102,7 | 5,9 | 116,3 | 6,7 |
| 4320 | 72 | 46,1 | 1,8 | 56,1 | 2,2 | 62,4 | 2,4 | 70,6 | 2,7 | 82,4 | 3,2 | 94,6 | 3,6 | 102,6 | 4,0 | 113,1 | 4,4 | 128,1 | 4,9 |
| 5760 | 96 | 49,3 | 1,4 | 60,1 | 1,7 | 66,8 | 1,9 | 75,6 | 2,2 | 88,3 | 2,6 | 101,3 | 2,9 | 109,9 | 3,2 | 121,1 | 3,5 | 137,1 | 4,0 |
| 7200 | 120 | 52,0 | 1,2 | 63,4 | 1,5 | 70,4 | 1,6 | 79,7 | 1,8 | 93,1 | 2,2 | 106,8 | 2,5 | 115,8 | 2,7 | 127,7 | 3,0 | 144,6 | 3,3 |
| 8640 | 144 | 54,3 | 1,0 | 66,2 | 1,3 | 73,6 | 1,4 | 83,2 | 1,6 | 97,2 | 1,9 | 111,6 | 2,2 | 121,0 | 2,3 | 133,3 | 2,6 | 151,0 | 2,9 |
| 10080 | 168 | 56,3 | 0,9 | 68,7 | 1,1 | 76,3 | 1,3 | 86,3 | 1,4 | 100,8 | 1,7 | 115,7 | 1,9 | 125,5 | 2,1 | 138,3 | 2,3 | 156,6 | 2,6 |

Starkniederschlagshöhen und -spenden gemäß KOSTRA-DWD-2020

Rasterfeld 179164

(Zeile 179, Spalte 164)

Örtliche Unsicherheiten in Abhängigkeit von Wiederkehrzeit T und Dauerstufe D

| Dauerstufe D | | Wiederkehrzeit T | | | | | | | | |
|--------------|-----|------------------|-----|-----|-----|------|------|------|------|-------|
| | | 1 a | 2 a | 3 a | 5 a | 10 a | 20 a | 30 a | 50 a | 100 a |
| min | Std | ± % | ± % | ± % | ± % | ± % | ± % | ± % | ± % | ± % |
| 5 | | 12 | 13 | 13 | 13 | 14 | 14 | 14 | 15 | 15 |
| 10 | | 15 | 16 | 17 | 17 | 18 | 19 | 19 | 19 | 20 |
| 15 | | 17 | 18 | 19 | 20 | 20 | 21 | 22 | 22 | 22 |
| 20 | | 18 | 20 | 20 | 21 | 22 | 22 | 23 | 23 | 24 |
| 30 | | 19 | 21 | 22 | 22 | 23 | 24 | 24 | 25 | 25 |
| 45 | | 20 | 21 | 22 | 23 | 24 | 24 | 25 | 25 | 26 |
| 60 | 1 | 20 | 21 | 22 | 23 | 24 | 24 | 25 | 25 | 26 |
| 90 | 1,5 | 19 | 21 | 22 | 22 | 23 | 24 | 24 | 25 | 25 |
| 120 | 2 | 19 | 20 | 21 | 22 | 23 | 24 | 24 | 24 | 25 |
| 180 | 3 | 18 | 20 | 20 | 21 | 22 | 23 | 23 | 24 | 24 |
| 240 | 4 | 18 | 19 | 20 | 21 | 21 | 22 | 22 | 23 | 23 |
| 360 | 6 | 17 | 18 | 19 | 20 | 20 | 21 | 22 | 22 | 22 |
| 540 | 9 | 16 | 17 | 18 | 19 | 20 | 20 | 21 | 21 | 22 |
| 720 | 12 | 16 | 17 | 17 | 18 | 19 | 20 | 20 | 20 | 21 |
| 1080 | 18 | 15 | 16 | 17 | 18 | 18 | 19 | 19 | 20 | 20 |
| 1440 | 24 | 15 | 16 | 17 | 17 | 18 | 19 | 19 | 19 | 20 |
| 2880 | 48 | 15 | 16 | 16 | 17 | 17 | 18 | 18 | 19 | 19 |
| 4320 | 72 | 16 | 17 | 17 | 17 | 18 | 18 | 18 | 19 | 19 |
| 5760 | 96 | 17 | 17 | 17 | 18 | 18 | 18 | 19 | 19 | 19 |
| 7200 | 120 | 17 | 17 | 18 | 18 | 18 | 19 | 19 | 19 | 19 |
| 8640 | 144 | 18 | 18 | 18 | 18 | 19 | 19 | 19 | 19 | 20 |
| 10080 | 168 | 19 | 18 | 18 | 19 | 19 | 19 | 19 | 20 | 20 |

Parameter für abweichende T und D

Lokationsparameter ξ (Xi)

16,72283341

Skalenparameter α (Alpha)

5,09410447

Formparameter κ (Kappa)

-0,1

1. Koutsoyiannis-Parameter θ (Theta)

0,03969237

2. Koutsoyiannis-Parameter η (Eta)

0,76289186

Parameter für dauerstufenübergreifende Extremwertschätzung nach KOUTSOYIANNIS et al. 1998.

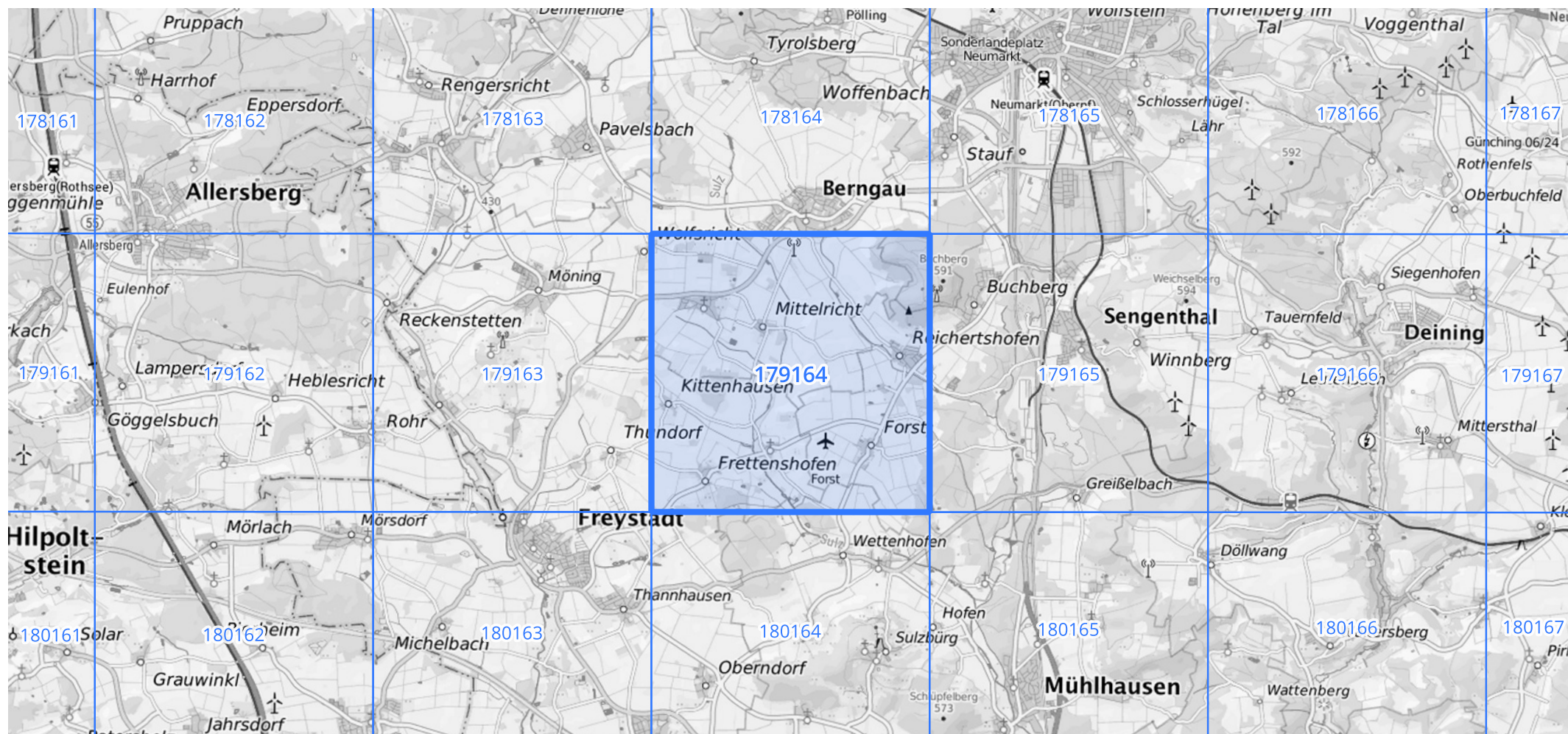
Siehe auch Anwendungshilfe zu KOSTRA-DWD-2020 des Deutschen Wetterdienstes.

Starkniederschlagshöhen und -spenden gemäß KOSTRA-DWD-2020

Rasterfeld 179164

(Zeile 179, Spalte 164)

Übersichtskarte des Rasterfeldes 179164, M 1 : 100 000



Quelle Rasterdaten: KOSTRA-DWD-2020 des Deutschen Wetterdienstes, Stand 12/2022.

Seite 3 von 3

Kartendarstellung: © Bundesamt für Kartographie und Geodäsie (2023), Datenquellen: https://sgx.geodatenzentrum.de/web_public/gdz/datenquellen/Datenquellen_TopPlusOpen.html

Für die Richtigkeit und Aktualität der Angaben wird keine Gewähr übernommen. Erstellt 01/2023.